

# **АФНИЯУ МИФИ**

Отчет о научно-исследовательской работе

## **Моделирование пространственно-временных характеристик ШАЛ**

---

Научный Руководитель: Н. О. Садуев

Студент: К. А. Воробьева, группа Б22-ФЧ

28 декабря 2024 г.

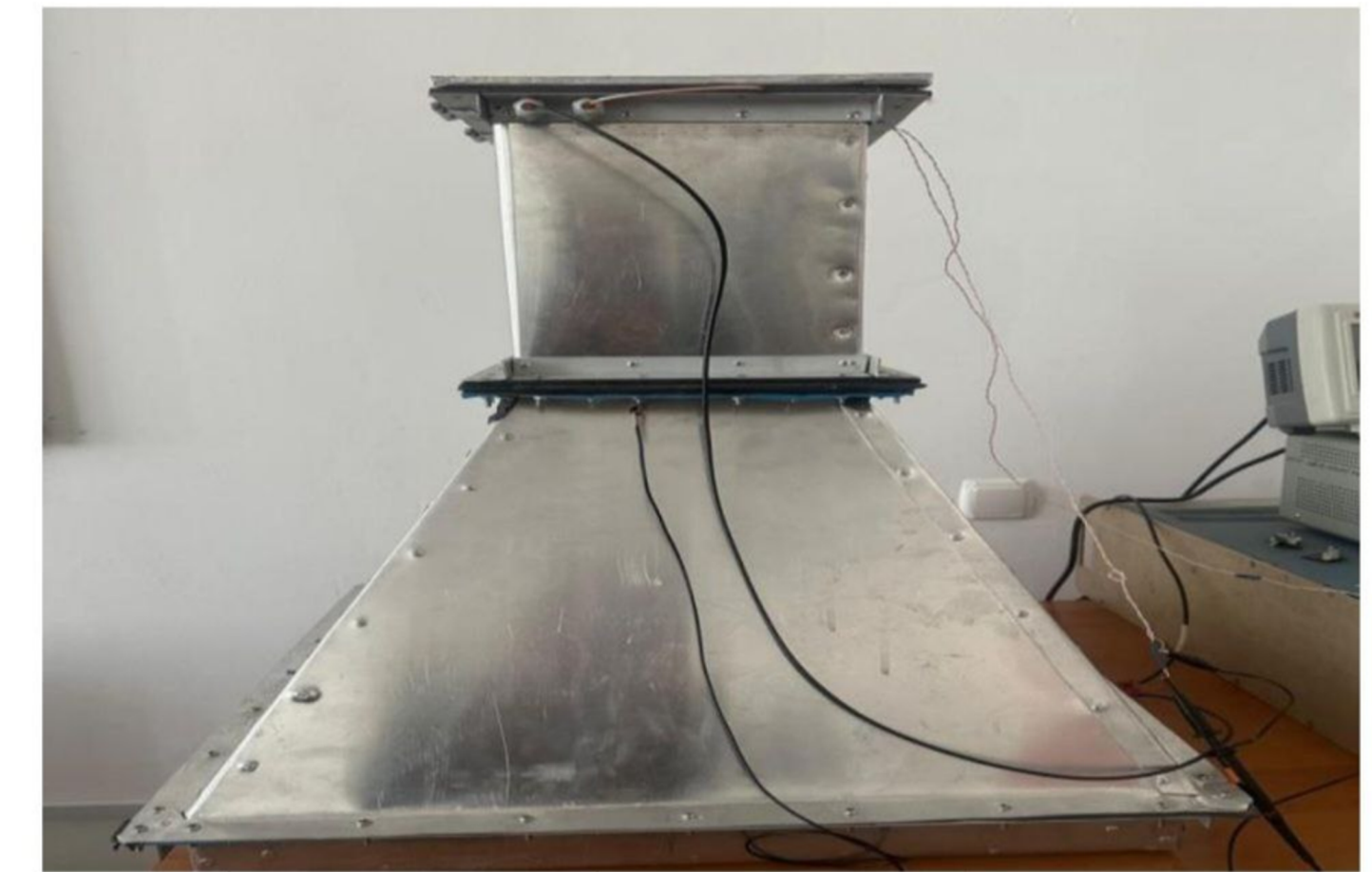
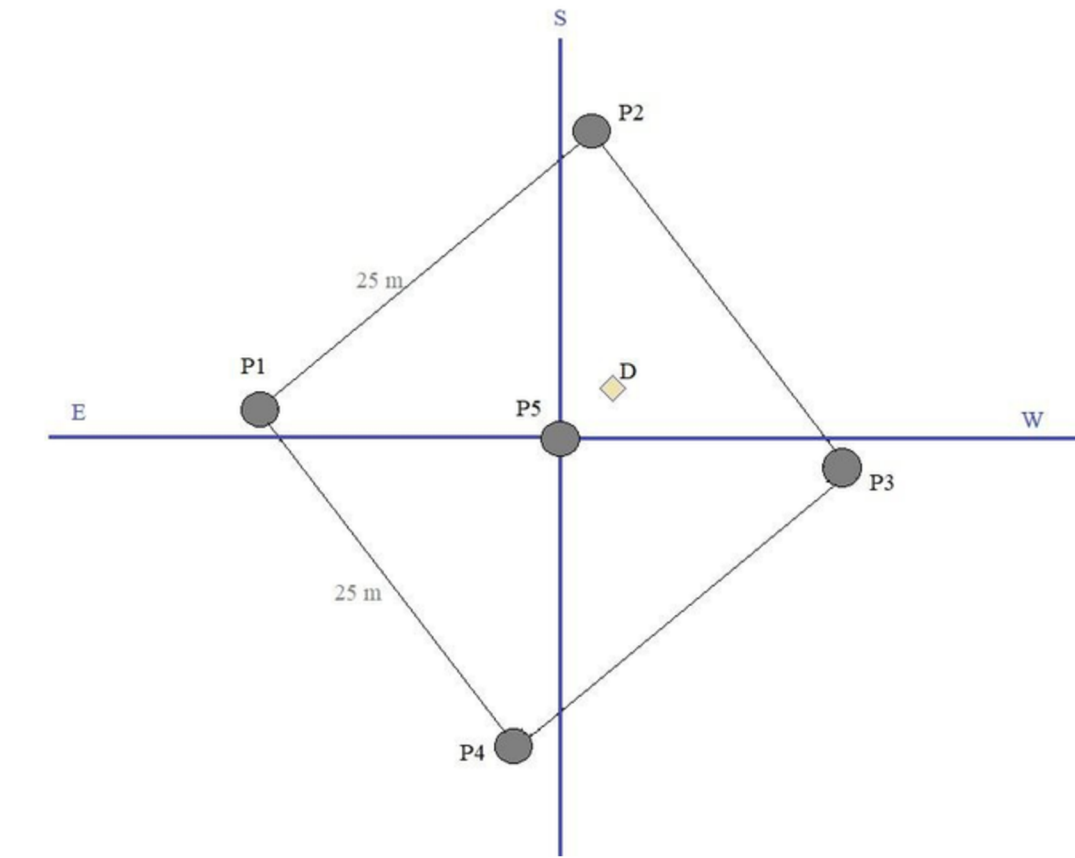
# Цели и Задачи

**Целью данной работы является моделирование распределения частиц в широких атмосферных ливнях с использованием программы CORSIKA.**

**Были выполнены следующий задачи:**

- изучена структура и принцип работы широких атмосферных ливней (ШАЛ), а также метод их моделирования;
- установлена программы CORSIKA для моделирования ШАЛ дистрибутиве Linux Ubuntu;
- изучен функционал программы CORSIKA, а также освоен методы анализа данных, полученных в результате моделирования;

Для регистрации ШАЛ разрабатываются быстрые временные детекторы заряженных частиц с временем разрешения 5-6 нс. Эти детекторы создаются на Тянь-Шанской Высокогорной научной станции ФИАН (ТШВНС), расположенной на высоте 3340 м над уровнем моря.



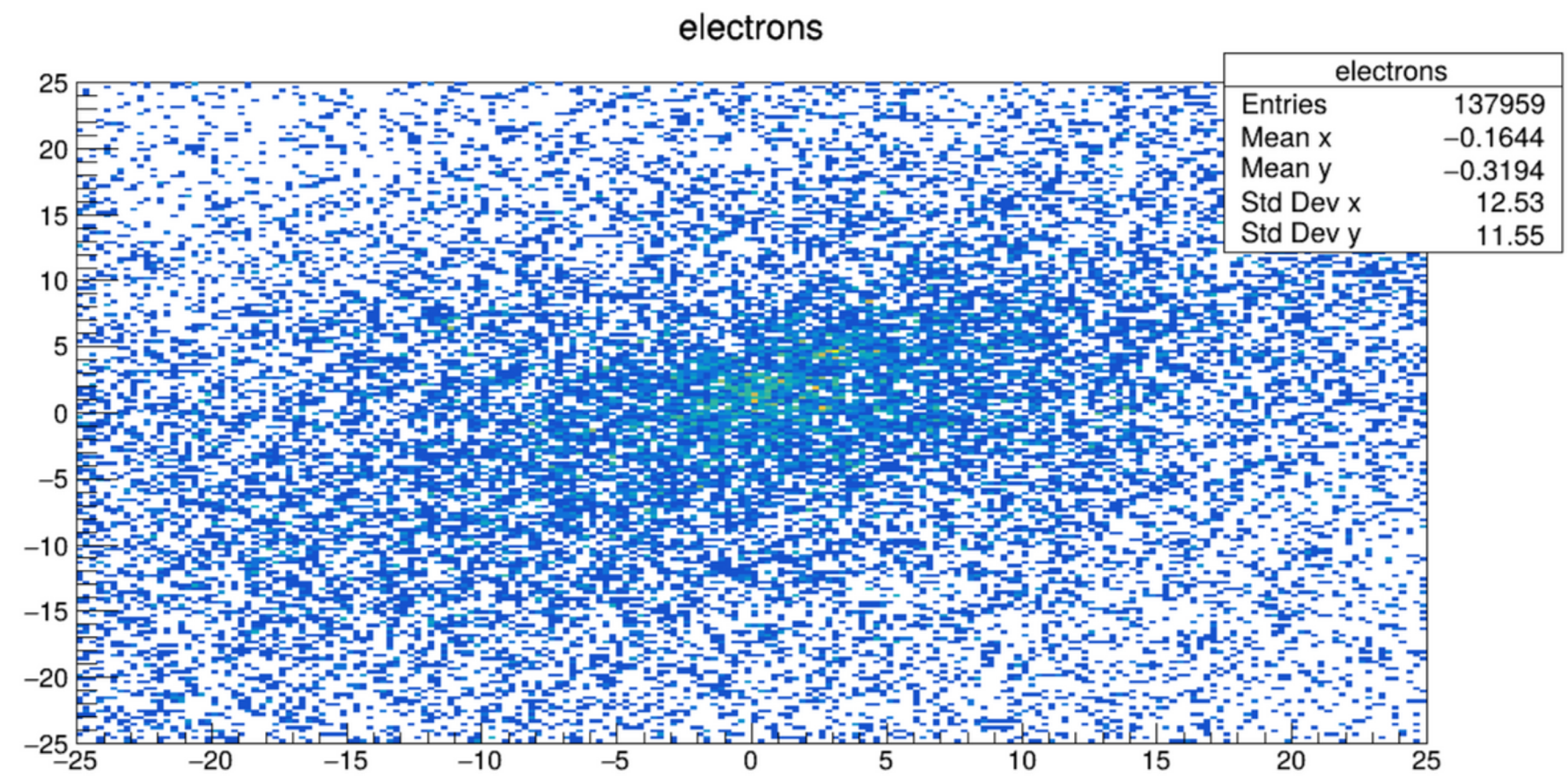
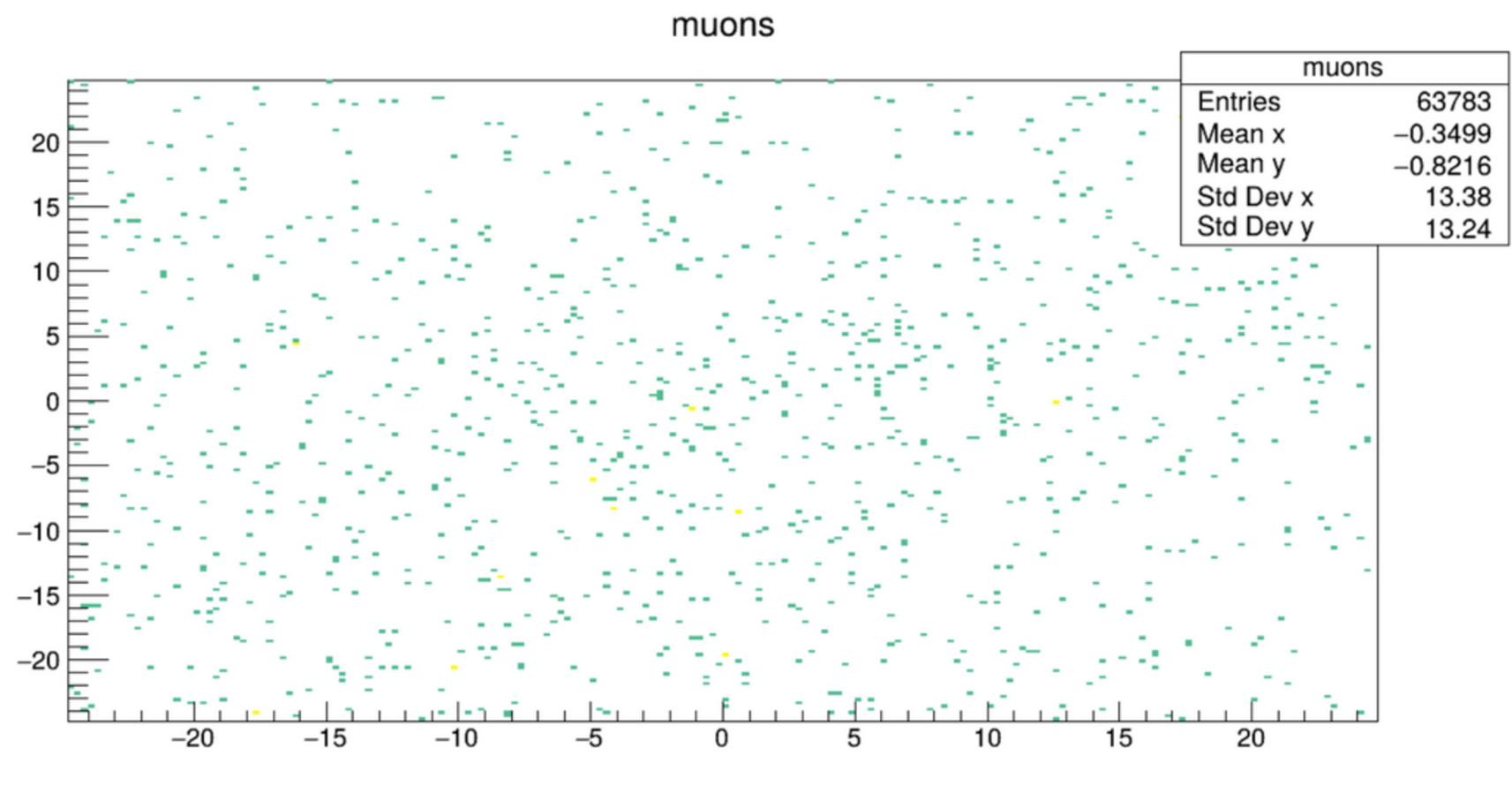
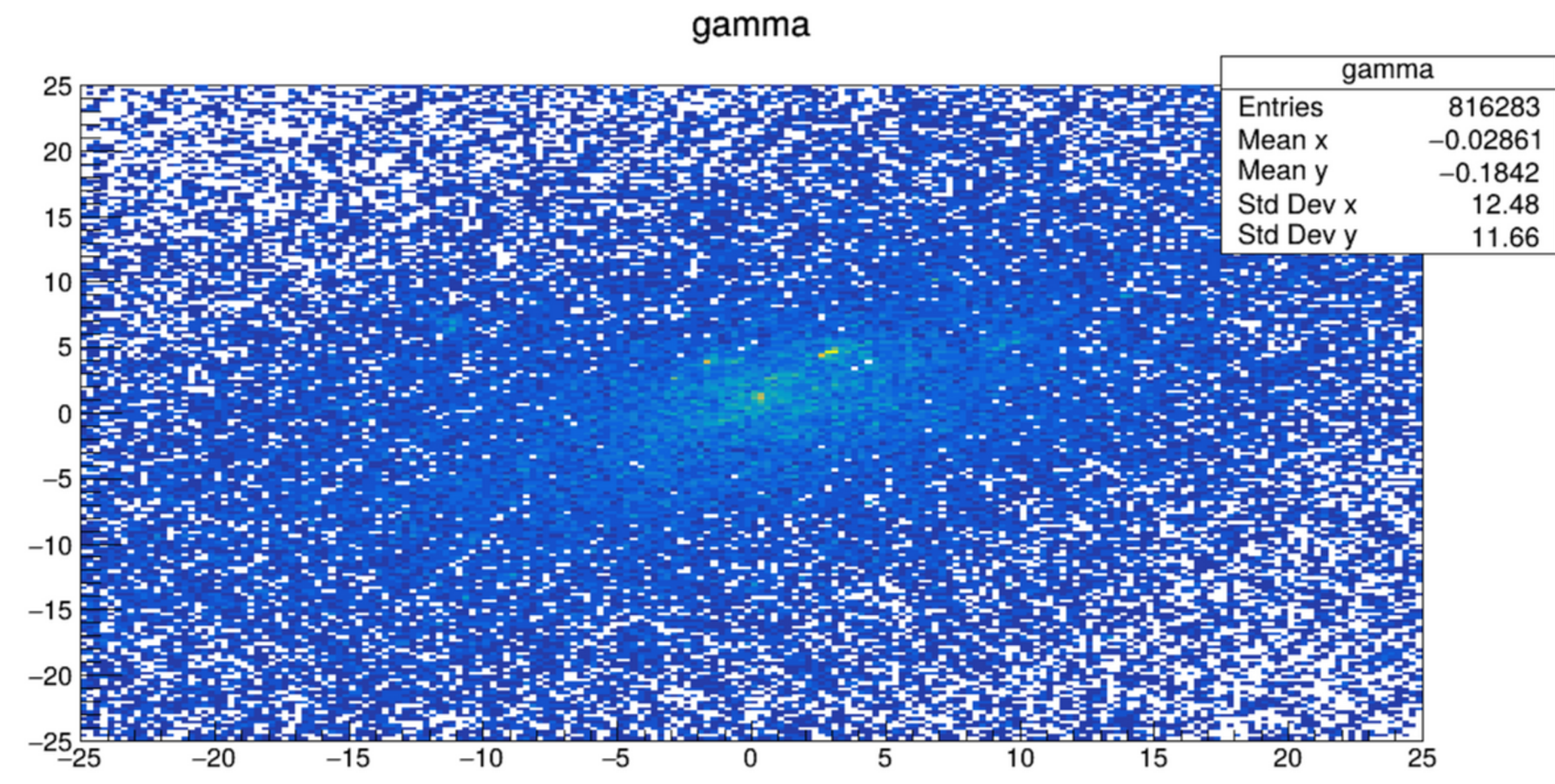
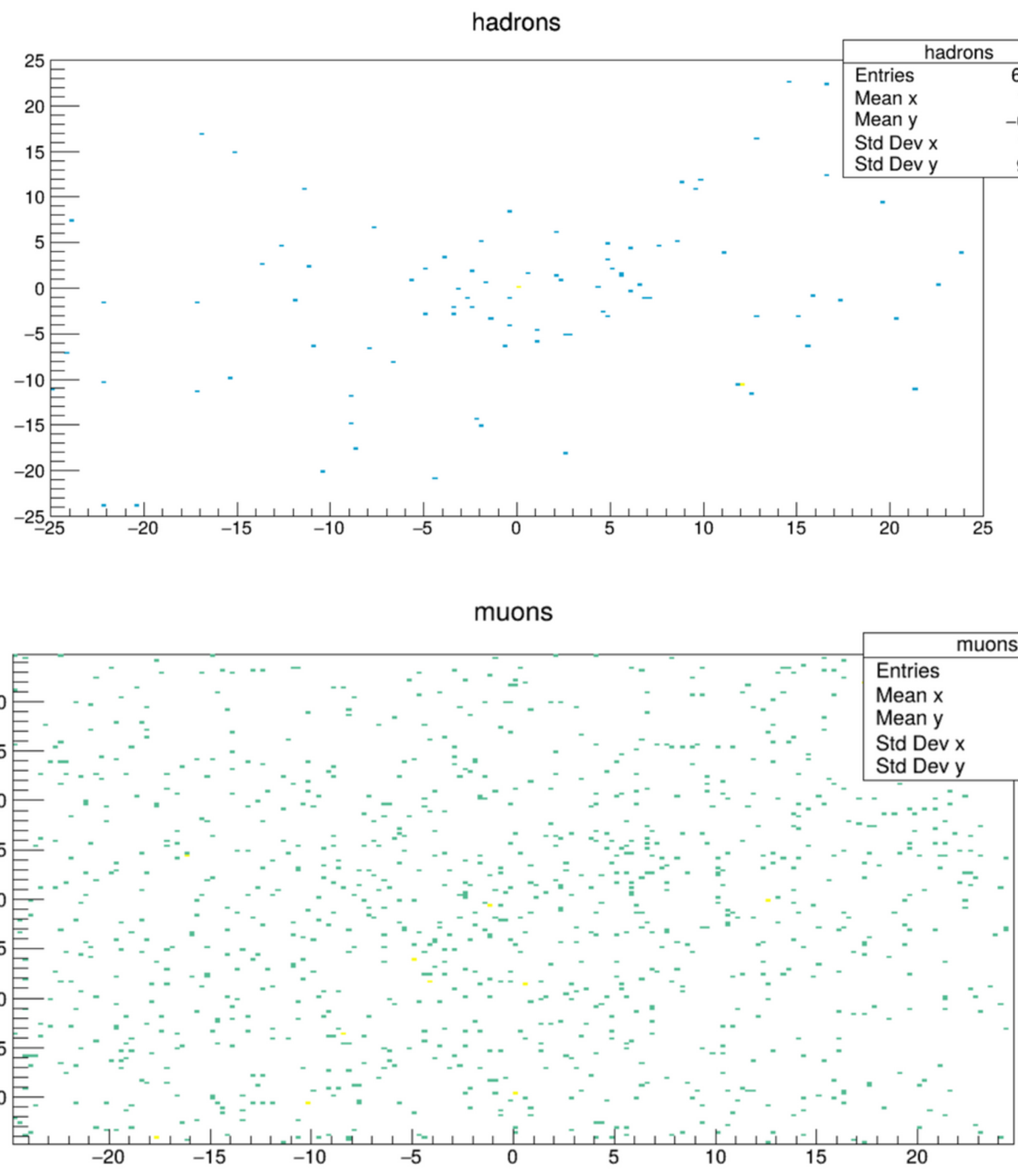
CORSIKA (COsmic Ray SImulations for KAscade) – это монтецарловская модель, учитывающая в подробностях развитие ШАЛ в атмосфере.

QGSJETII-04 – это одна из моделей взаимодействия адронов при высоких энергиях.

GHEISHA 2002d - модель низкоэнергетических адронных взаимодействий, используется для моделирования адронных взаимодействий.

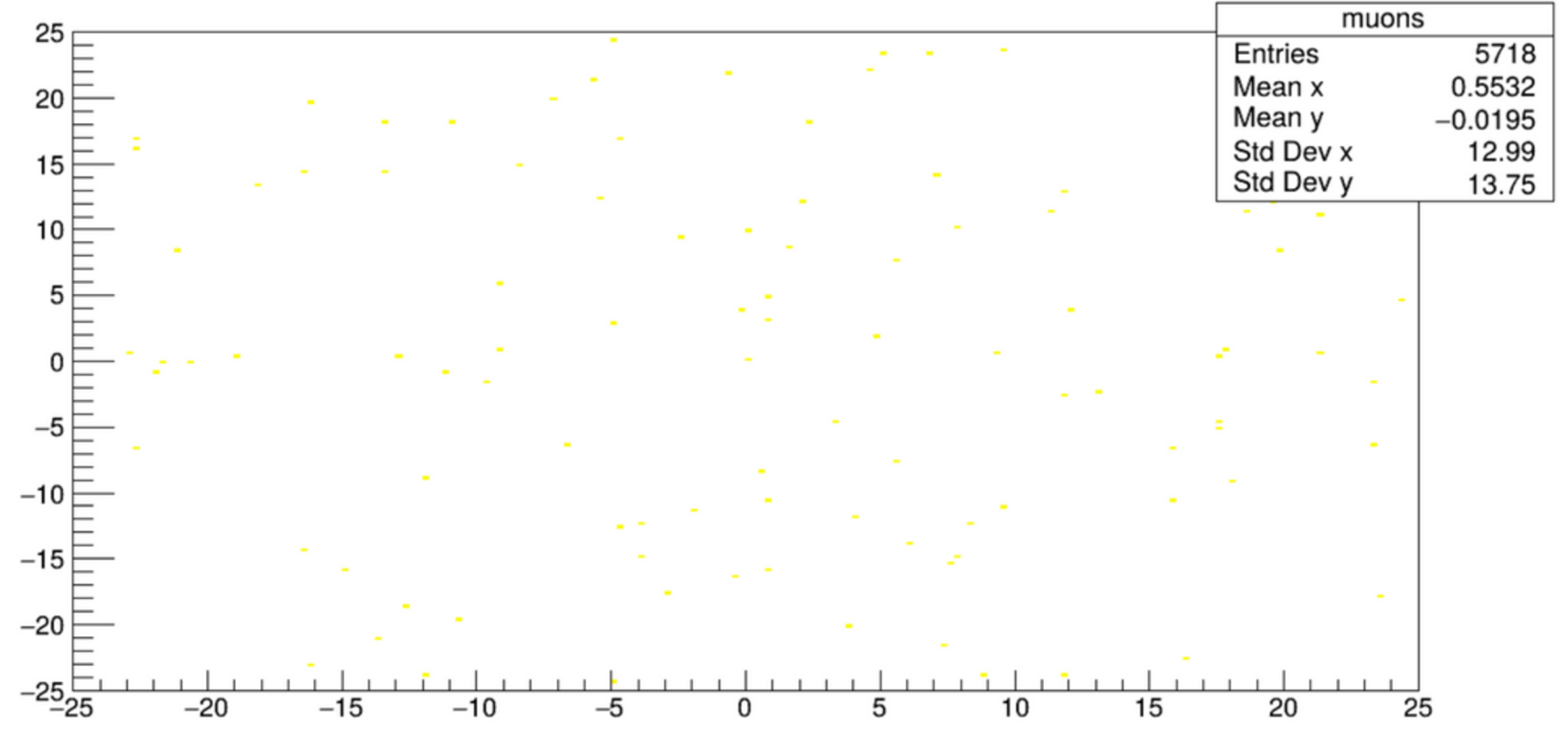
Энергия, эВ	Угол $\phi$	Угол $\theta$	Seed	$N_\gamma$	$N_e$	$N_h$	$N_\mu$
$10^{15}$	30°	180°	1 2 0, 2 3 0	$1,4 \times 10^6$	$2,8 \times 10^5$	$1,3 \times 10^4$	$1,2 \times 10^4$
			3 2 0, 2 4 0	$1,3 \times 10^6$	$2,6 \times 10^5$	$1,1 \times 10^4$	$1,1 \times 10^4$
	45°	180°	1 0 0, 2 0 0	$1,2 \times 10^6$	$2,3 \times 10^5$	$1,1 \times 10^4$	$1,1 \times 10^4$
			1 1 0, 2 1 0	$7,2 \times 10^5$	$1,3 \times 10^5$	$8,4 \times 10^3$	$8,2 \times 10^3$
	60°	180°	1 0 0, 2 0 0	$5,2 \times 10^4$	$9,9 \times 10^3$	$5,7 \times 10^3$	$5,7 \times 10^3$
			3 2 0, 3 4 0	$3,1 \times 10^4$	$5,3 \times 10^3$	$6,9 \times 10^3$	$6,9 \times 10^3$
$10^{16}$	30°	180°	1 0 0, 2 0 0	$1,7 \times 10^7$	$3,4 \times 10^6$	$9,1 \times 10^4$	$8,7 \times 10^4$
			2 1 0, 2 1 0	$2,3 \times 10^7$	$5,2 \times 10^6$	$9,2 \times 10^4$	$8,7 \times 10^4$
	45°	180°	1 2 0, 2 1 0	$1,1 \times 10^7$	$2,2 \times 10^6$	$8,4 \times 10^4$	$8,2 \times 10^4$
			3 2 0, 3 1 0	$7,3 \times 10^6$	$1,4 \times 10^6$	$9,1 \times 10^4$	$8,9 \times 10^4$
	60°	180°	1 3 0, 2 2 0	$8,2 \times 10^5$	$1,4 \times 10^5$	$6,4 \times 10^4$	$6,4 \times 10^4$
			2 3 0, 3 1 0	$1,6 \times 10^6$	$2,6 \times 10^5$	$3,3 \times 10^4$	$3,3 \times 10^4$

Таблица 1: Результаты распределения частиц, полученные в ходе моделирования

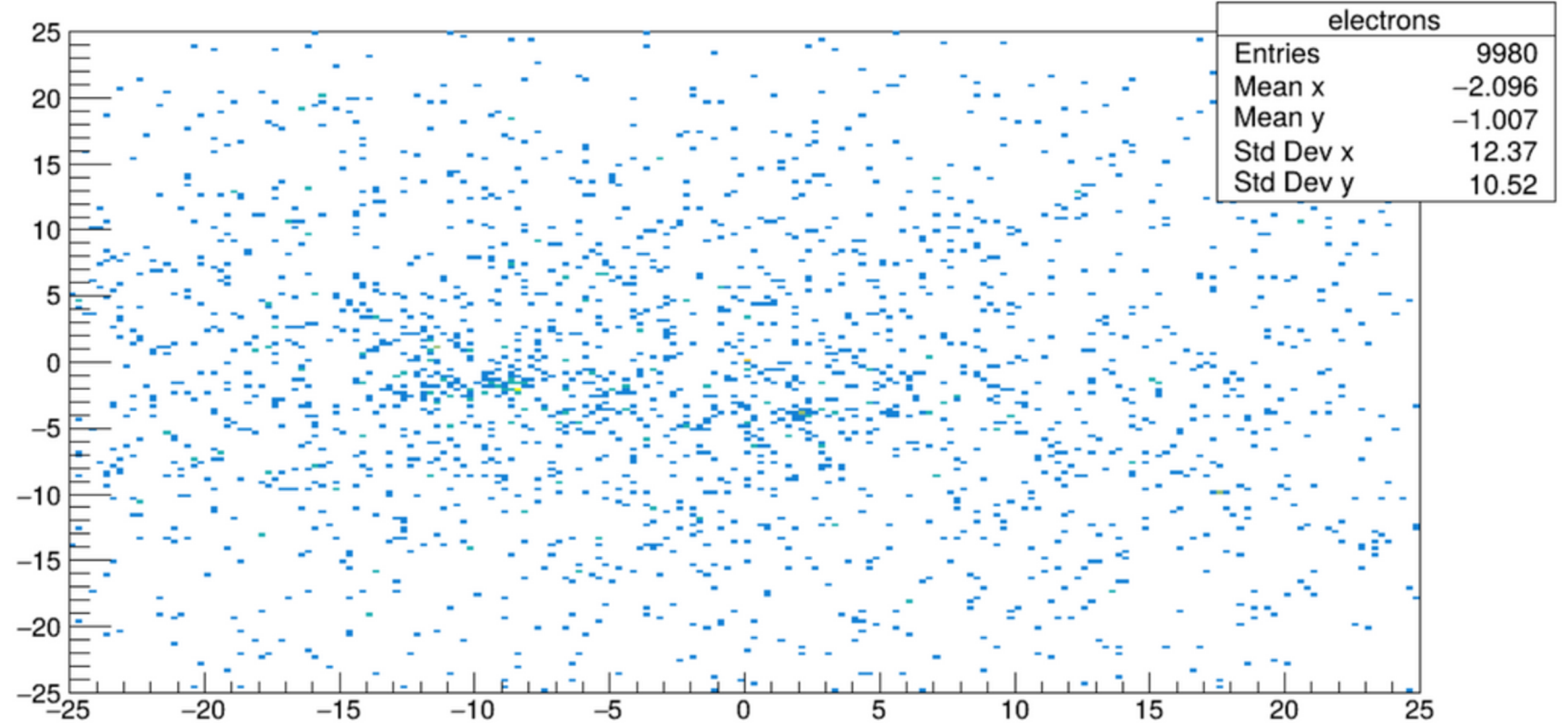


Распределение частиц, в ШАЛе с энергией  $10^{16}$  Эв, и углом падения  $60^\circ$ .

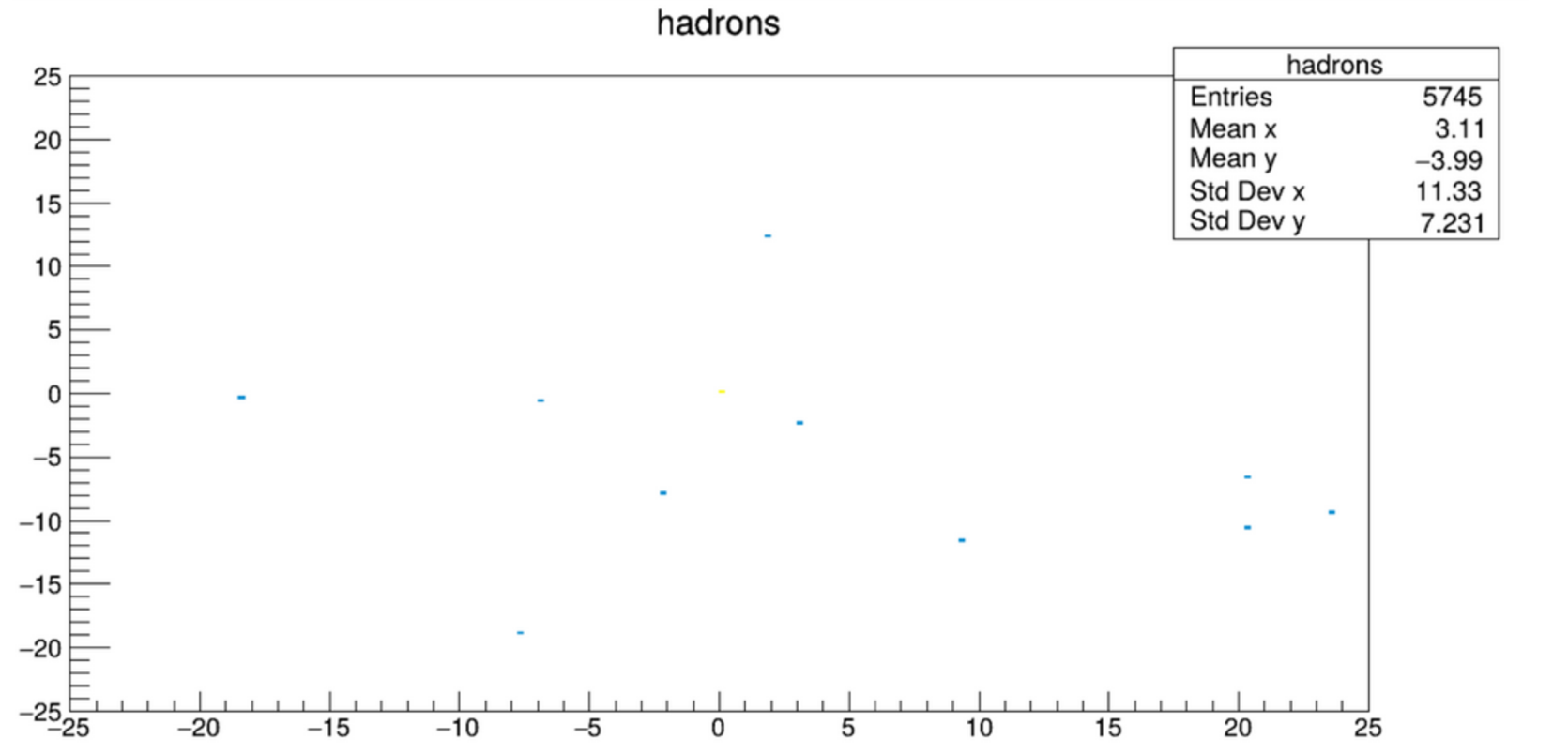
muons



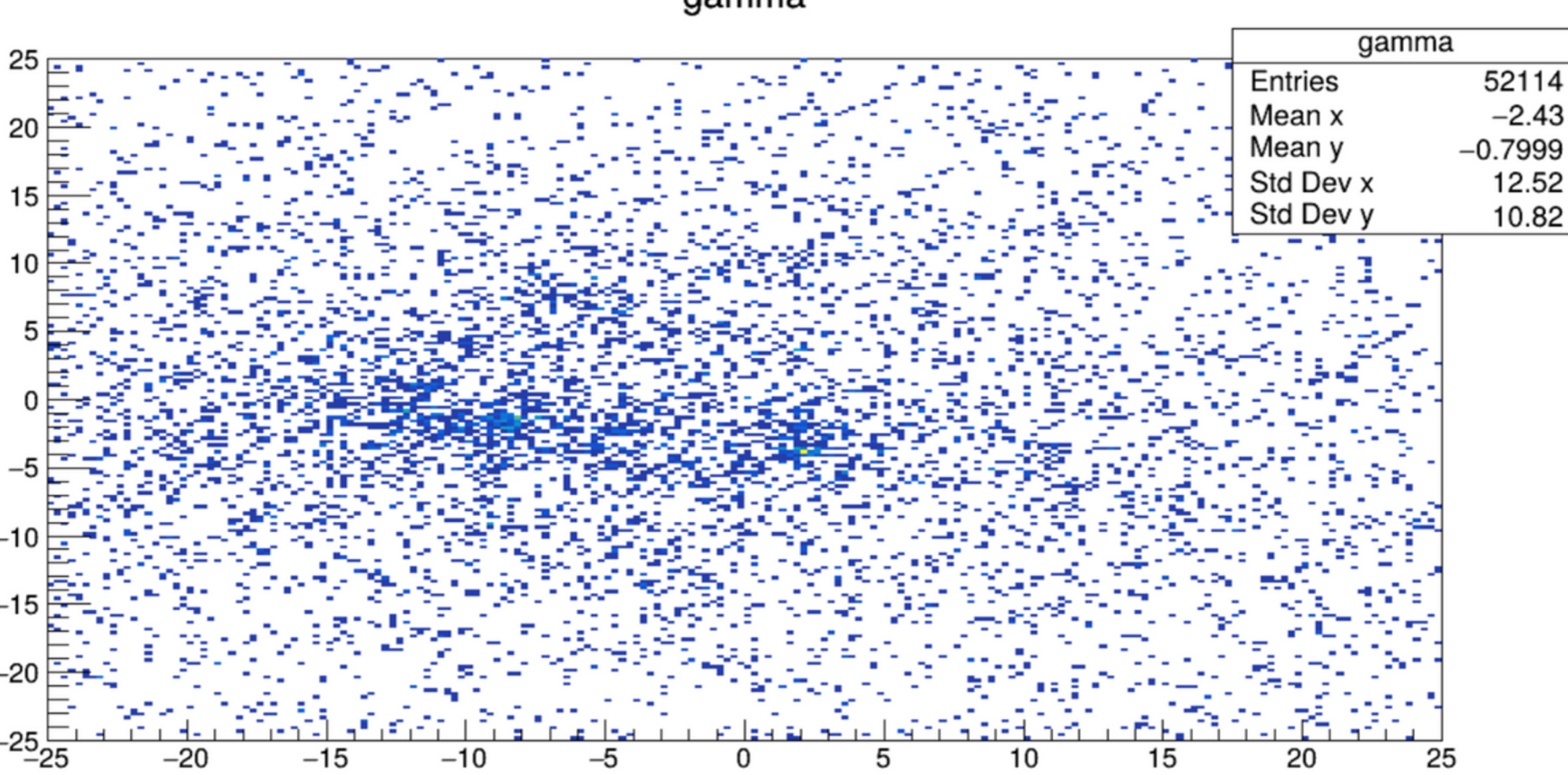
electrons



hadrons



gamma



Распределение частиц, в ШАЛе с энергией  $10^{15}$  Эв, и углом падения  $60^\circ$ . 6

# **Выводы:**

- С увеличением энергии первичной частицы увеличивается число вторичных частиц.
- Пространственное распределение частиц изменяется с повышением энергии, особенно в центральной области.
- Для мюонов при больших углах отклонения наблюдается асимметрия распределения.

**Спасибо за внимание!**